

II-43 弾性波理論に基づいた流木衝撃力の評価

秋田大学 学生員○池田弘樹 正員 松富英夫

1. まえがき 弾性理論のみに基づいた理論¹⁾では、流木の衝撃力を過大評価することは、すでに指摘した²⁾。弾性波理論のみに基づいた理論³⁾でも、過大評価することは、実際に計算を行ってみれば明らかである。これ等理論で実際的な大きさの衝撃力を得るには、何等かの流木緩衝機構を導入せざるを得まい。本研究の目的は、流木緩衝機構を取り入れた弾性波理論に基づき、流木衝撃力の評価式を導くことにある。対象流木は、段波等に比べ相対的に非定常性と流動性の小さい水運動に伴う流木とする。流木緩衝機構としては構造物と流木の間に挟まれた水によるものを考える。

2. 理論 流木衝撃力に関する研究例¹⁾⁻⁶⁾を、その扱い所としている理論で分類すれば、表-1のようになろう。

表-1 流木の衝撃力理論

これ等理
論の特徴
を簡単に

述べれば、①運動量理論では、実際的な大きさの衝撃力が得られ得るが、複数個の事柄（反発係数、質量係数、衝撃力波形、衝撃力継続時間、流木移動速度、等）について実験的検討を行わねばならず、最終的に実験係数が入らざるを得ない、②弾性理論や弾性波理論では、完全に解析的に取り扱い得るが、過大なものが得られる、③弾性波理論は、適用範囲が限られ、マッシブな構造物にしか適用できない、等であろう。

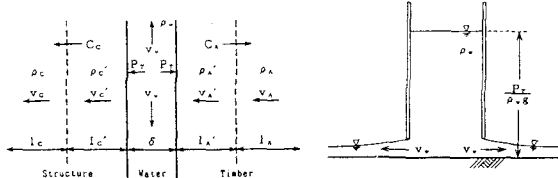


図-1 モデルと記号 図-2 水部分のモデル

衝撃力を受ける構造物として、コンクリート方塊のようなマッシブなものを考える。また、流木が構造物に正面から衝突する場合を考える。

流木衝撃時のモデルとして、図-1に示すように、構造物・水・流木の3層からなるものを考える。構造物と流木の2層からなるものは、Kamelの理論³⁾に他ならない。本来、Kamelの理論は流木を対象としたものでないが、容易に流木と拡張解釈できるからである。著者等のこのモデル化は、流木の衝撃過程において、構造物と流木の間に挟まれた水に、緩衝機能のあることが指摘されていることによる^{2), 4), 5)}。

弾性波理論に基づく構造物と流木での連続式と運動量式は次の通りである。

$$\rho_A(v_A + C_A) = \rho_{A'}(v_{A'} + C_A) \quad \dots \dots \dots (1)$$

$$\rho_C C_C = -\rho_{C'}(v_{C'} - C_C) \quad \dots \dots \dots (2)$$

$$\rho_A(v_A + C_A)v_A = p_T + \rho_A(v_{A'} + C_A)v_{A'} \quad \dots \dots \dots (3)$$

$$p_T = -\rho_{C'}(v_{C'} - C_C)v_{C'} \quad \dots \dots \dots (4)$$

ここで、 ρ は密度、 v は個体の移動速度、 C は弾性波速度、 p_T は衝撃圧、添字AとCは流木と構造物の別、'は弾性波通過領域内での量であることを示す。Cは弾性係数Eと次式の関係があり、

$$C = (E / \rho)^{1/2} \quad \dots \dots \dots (5)$$

個体の種類を特定してしまえば、容易に評価され得るものである。

水の部分では、①挟まれた水は流木外周から容易に流出し得るので、非圧縮であり、②得られる衝撃圧の一価性（定常性）より、ベルヌーイの定理の適用も可能と仮定すれば、次式が得られる。

$$V_w = \{2p_T / \rho_w(1+f)\}^{1/2} \quad \dots \dots \dots (6)$$

ここで、 V_w は流木外周での水の速度、 ρ_w は水の密度、fは何等かの原因に起因するエネルギーの損失係数である。挟まれた水部分のモデルを図-2に示す。ベルヌーイの定理を流木外周のどの位置で適用するかにより、高度水頭が異なってくる。その差異は、衝撃圧力水頭に比べれば非常に小さいと思われる所以、式(6)の誘導では無視されている。また、水の連続性から、次式が得られる。

$$V_w = k(v_{A'} - v_{C'}) \quad \dots \dots \dots (7)$$

ここで、kは流木径Dと水の厚さδの比($=D/\delta$)に依存する未知係数である。結局、式(6)・(7)より、水の部分では次式が得されることになる。

$$p_T = \rho_w k^2 (1+f) (v_{A'} - v_{C'})^2 / 2 \quad \dots \dots \dots (8)$$

本問題において、未知量は $\rho_{A'}$ 、 $\rho_{C'}$ 、 $v_{A'}$ 、 $v_{C'}$ 、 p_T の5個、独立な方程式群は式(1)、(2)、(3)、(4)、(8)の5本で、問題は閉じている。上式群を解けば、例えば衝撃圧 p_T に関して次式が得られる。

$$p_T = \rho_C C_C l : [v_{A'} + l_{12} - \{(v_{A'} + l_2)^2 - v_{A'}^2\}^{1/2}] \dots \dots \dots (9)$$

$$l_1 = \rho_A(v_A + C_A) / \{ \rho_A(v_A + C_A) + \rho_C C_C \}$$

$$l_2 = \rho_C C_C l_1 / k^2 (1+f) \rho_w$$

一般に、 $C_A \gg v_A (> v_A > v_C)$ のので、式(9)は簡略化でき、

$$p_T = \rho_C C_C l_3 [v_A + l_4 - \{(v_A + l_4)^2 - v_A^2\}^{1/2}] \quad \dots\dots(10)$$

$$l_3 = \rho_A C_A / (\rho_A C_A + \rho_C C_C)$$

$$l_4 = \rho_C C_C l_3 / k^2 (1+f) \rho_w$$

本研究では、次章の計算例も含めて、最終結果として式(10)を採用する。式(9)・(10)において k を無限大、即ち水の厚さを零とすれば、Kamelの理論式と一致する。

流木の衝撃力 F_m は次式で評価される。

$$F_m = p_T A = \pi D^2 p_T / 4 \quad \dots\dots(11)$$

本理論では、流木長 L の影響が式中に陽に現れていない。その影響は予め与えられるとしている流木の移動速度 v_A に現れるものである。よって、 v_A の評価が今後の問題となるが、碎波段波に伴う場合については、適用範囲は狭いが、松富の実験式²⁾がある。

3. 計算例と考察 図-3 に実線で式(11)の計算例を示す。 k をパラメータに、流木径 D による衝撃力 F_m の変化を見たものである。計算において、エネルギー損失係数 f は零としている。これは以下の計算でも同じである。また、構造物としてコンクリート構造物を考えている。採用した諸特性値は $\rho_A / \rho_w = 0.6$ 、 $\rho_C / \rho_w = 2.3$ 、 $E_A = 10$ 万 kg/cm^2 、 $E_C = 21$ 万 kg/cm^2 である。これ等の図より、流木移動速度 v_A や k 値が大きくなるにつれて、衝撃圧 p_T 、ひいては F_m が大きくなることが判断される。

k 値、換言して δ の特定が問題の一つとして残されて

